

مدلسازی ترمودینامیکی حلالیت گاز دی اکسید کربن در محلول های الکتروولیت در فشارهای بالا

علی حق طلب^{*}، طوبی تاکی^۲

- ۱- استاد دانشکده مهندسی شیمی، دانشگاه تربیت مدرس، تهران، ایران
 ۲- دانشجوی کارشناسی ارشد مهندسی شیمی، دانشگاه تربیت مدرس، تهران، ایران
 دریافت: ۹۱/۷/۱۰ پذیرش: ۹۱/۹/۱۱

چکیده

در تزریق گاز دی اکسید کربن به چاههای گاز و نفت برای ازدیاد برداشت و یا محصور کردن این گاز در اعمق زمین برای کاهش گازهای گلخانه‌ای و یا تزریق این گاز به شورابههای اعمق زمین با همین هدف، با انحلال این گاز در محلول های آبی الکتروولیت مواجه هستیم. از این‌رو بررسی حلالیت گاز دی اکسید کربن در محلول های آبی الکتروولیت در بازه وسیعی از دما، غلظت، فشار و الکتروولیت‌های مختلف حائز اهمیت است. در این مقاله، بررسی این حلالیت با استفاده از معادله حالت الکتروولیتی چاه مربعی حق طلب- مظلومی برای شش الکتروولیت شامل کلریدسدیم، کلریدپتاسیم، سولفاتسدیم، کلریدمنیزیم و کلریدکلسیم، سولفاتمنیزیم [۲۲] با در نظر گرفتن پارامتر برهمنش دوتایی انجام گرفته است. نتایج مدلسازی نشان می‌دهد معادله حالت چاه مربعی حلالیت گاز دی اکسید کربن در محلول های الکتروولیت به خصوص کلریدسدیم و در فشارهای بالا تا ۴۰۰ بار را به خوبی محاسبه می‌نماید.

کلمات کلیدی: حلالیت، دی اکسید کربن، معادله حالت چاه مربعی، محلول الکتروولیت، تعادلات بخار- مایع

استفاده در استخراج نفت باقیمانده از مخازن که دارای بازده ۳۰ استخراج نفت از مخازن طی سه مرحله‌ی برداشت اولیه^۱،
 ۶۰ درصد می‌باشد. با توجه به هزینه‌بر بودن روش EOR، در
 مورد همه چاههای نفت نمی‌توان آن را مورد استفاده قرار داد و
 باید پارامترهایی نظیر قیمت نفت، هزینه عملیاتی EOR و ... را
 در نظر گرفت. این فناوری به یکی از روش‌های بازیافت حرارتی،
 تزریق مواد شیمیایی^۷، تزریق گاز^۸، تحریک فوق صوتی^۹ و یا
 تزریق مواد میکروبی^{۱۰} انجام می‌گیرد. لازم به ذکر است که EOR

مقدمه

استخراج نفت از مخازن طی سه مرحله‌ی برداشت اولیه^۱،
 ثانویه^۲ و ثالثیه^۳ انجام می‌پذیرد که در حالت کلی تنها ۳۰ الی ۵۰ درصد نفت در مجموعه برداشت اولیه و ثانویه از مخازن بازیافت می‌گردد، بنابراین باید راهی برای استخراج نفت باقیمانده در نظر گرفته شود. برداشت ثالثیه که با نامهای EOR^۴ و IOR^۵ هم شناخته می‌شود، در واقع عنوانی است برای فناوری‌های مورد

* haghtala@modares.ac.ir

1. Primary Recovery

2. Secondary Recovery

3. Tertiary Recovery

4. Enhanced Oil Recovery (EOR)

5. Improved Oil Recovery (IOR)

6. Thermal Recovery

7. Chemical Injection

8. Gas Injection

9. Ultrasonic Stimulation

10. Microbial Injection

هموژن تمایل دارند، البته این مسئله بیشتر یک مشاهده‌ی کیفی می‌باشد و جنبه‌ی کمی ندارد. میزان سبکی و سنگینی نفت با پارامتر API سنجیده می‌شود.

هرچه نفت سبک‌تر باشد (دارای API بیشتر باشد) امتزاج‌پذیری گاز تزریقی در عمق کمتری از سطح زمین اتفاق می‌افتد. این بدان معنا است که با فشار کمتری می‌توان نفت و دی‌اکسیدکربن را با هم امتزاج نمود. تغییرات فشار و دما و همچنین افزایش هیدروکربن‌های میانی و دی‌اکسیدکربن به نفت مخزن ممکن است منجر به تشکیل چند فاز در مخزن گردد بعضی از این فازها عبارتند از:

- دو یا چند فاز مایع (به عنوان فاز غنی از هیدروکربن سنگین، فاز غنی از دی‌اکسیدکربن)
 - رسوب جامد آسفالت و واکس
 - فازهای گاز مایع و جامد مایع [۲۳]
- این ارتباط در جدول (۱) آمده است.

در جدول (۲) ارتباط بین شرایط تزریق دی‌اکسیدکربن با ویژگی‌های مخزن و مکانیسمی که طی آن دی‌اکسیدکربن به افزایش بازیافت کمک می‌کند آمده است.

بطور کلی تأثیر تزریق گاز دی‌اکسیدکربن در بازیافت نفت به رفتار فازی مخلوط دی‌اکسیدکربن، نفت خام و آب سازند بستگی دارد. دی‌اکسیدکربن در هر دو فاز نفت و آب حل می‌گردد. آب سازند یا به بیان بهتر محلول آبی الکترولیتی، محلولی شامل آب و

عمدتاً به یکی از سه روش اول صورت می‌پذیرد [۱].

در روش تزریق گاز به عنوان یک روش متداول گاز را تحت فشار بالا به مخزن تزریق می‌کنند که در نتیجه گاز با نفت مخلوط شده و یا در آن حل می‌گردد که به هر حال باعث کاهش ویسکوزیته نفت و راحت‌تر جاری شدن آن می‌شود. در ایالت متحده آمریکا امروزه ۵۰ درصد روش EOR با تزریق گاز به مخازن صورت می‌گیرد. گازهای مورد استفاده در این روش دی‌اکسیدکربن، نیتروژن و یا گازهای هیدروکربنی نظری متنان می‌باشند، البته نتایج نشان می‌دهد تزریق گاز دی‌اکسیدکربن که در صنایع نفت به عنوان گاز هدر رفته^۱ وجود دارد بهدلیل ارزان بودن و البته برتری‌های دیگر آن نسبت به سایر گازها برای تزریق به مخازن نفت مورد توجه بیشتری قرار گرفته است. این روش اولین بار در ابتدای دهه ۱۹۷۰ در تکزاس و نیومکزیکو با تزریق دی‌اکسیدکربن با موفقیت انجام پذیرفت. یکی دیگر از نمونه‌های تزریق این گاز به مخازن نفتی در کانادا می‌باشد. هدف پژوهشی مذکور تزریق ۱۸ میلیون تن دی‌اکسیدکربن خالص و بازیافت ۱۳۰ میلیون بشکه نفت خام بوده است. تزریق گاز از اوخر سال ۲۰۰۰ آغاز شده و در حال حاضر ۱۰۰۶۳ بشکه نفت خام در روز استخراج می‌گردد. امتزاج‌پذیر بودن دی‌اکسیدکربن با نفت به فشار تزریقی گاز و نیز سبک و یا سنگین بودن نفت مخزن بستگی دارد. امتزاج‌پذیری اشاره دارد به این که چقدر دو یا چند مایع به حل شدن کامل در یکدیگر و تشکیل یک محلول

جدول ۱: ارتباط API نفت و عمق امتزاج‌پذیری دی‌اکسیدکربن [۲]

سیلاب‌زنی امتزاج‌پذیر برای دی‌اکسیدکربن	
گرانزوی نفت	عمق بیشتر از (فوٹ)
>۴۰	۲۵۰۰
۳۲-۳۲/۹	۲۸۰۰
۲۸-۳۱/۹	۳۳۰۰
۲۲-۲۷/۹	۴۰۰۰
<۲۲	سیلاب‌زنی امتزاج‌پذیر ناممکن، غربالی برای امتزاج‌ناپذیری
سیلاب‌زنی امتزاج‌ناپذیر برای دی‌اکسیدکربن	
۱۳-۲۱/۹	۱۸۰۰
<۱۳	ناممکن برای کلیه‌ی مخازن در هر عمقی

جدول ۲: شرایط تزریق دی اکسید کربن، ویژگی مخزن، مکانیسم بازیافت [۲]

process Carbon dioxide injection	Reservoir criteria	Oil recovery mechanisms
Row pressure applications	P<1000 psia shallow &viscous fields where water & thermal injections are inefficient	Oil swelling & viscosity reduction
Intermediate pressure high temperature applications	1000<P<2000 to 3000 psia up to reservoir temperature	Oil swelling, viscosity reduction & crude vaporization
Intermediate pressure low temperature (<100°F) applications	1000<P<2000 to 3000 psia T<122°F	Oil swelling, viscosity reduction & blow down recovery
High pressure miscible applications	P<2000 to 3000 psia	Miscible displacement

نمکهای معدنی محلول در آن نظیر کلرید سدیم، کلرید کلسیم، واکنش‌های شیمیایی این گاز با کلسیم و منیزیم موجود در محلول‌های الکتروولیت منجر به تولید کربنات‌های پایدار شده که میزان گازی که در محلول آبی می‌باشد می‌تواند افزایش سبب نگهداری دائم این گاز در عمق زمین می‌گردد [۲۱].

اعماق چاه‌های گاز طبیعی نیز از گزینه‌های دارای پتانسیل بالا در ذخیره و نگهداری گاز دی اکسید کربن می‌باشد. در فرآیند CSEGR^۳ تزریق گاز دی اکسید کربن از یک سو سبب ازدیاد برداشت گاز طبیعی (متان) می‌شود و از سوی دیگر در اعماق چاه محصور می‌گردد چراکه چاه گاز طبیعی دارای حجم کافی و قابلیت جلوگیری از فرار گاز را دارد [۲۰]. بنابراین اهمیت بررسی میزان حلایت گاز دی اکسید کربن در محلول آبی الکتروولیت که دارای حلایت‌پذیری بالا در فاز آبی می‌باشد، پر واضح است که این مهم در این مقاله مورد بررسی قرار گرفته است.

مدل‌های ترمودینامیکی در توصیف محلول‌های الکتروولیت
 محلول‌های الکتروولیت پیچیده‌ترین نوع محلول‌ها در صنایع شیمیایی می‌باشند چراکه در آن‌ها یون‌ها به عنوان ذراتی باردار حضور داشته و نیروهای الکترواستاتیک میان یون‌ها و نیروهای بردکوتاه بین یون‌ها و مولکول‌های حلال وجود دارند، به‌طوری که حتی در غلظت‌های پایین از الکتروولیت هم حضور این نیروهای بین مولکولی به‌شدت رفتار سامانه‌های الکتروولیتی را غیر ایده‌آل می‌سازد، بنابراین باید کلیه‌ی نیروهای بین ذره‌ای در نظر گرفته شوند [۳].

با افزایش نفت را به طور قابل ملاحظه‌ای تحت تأثیر قرار دهد زیرا انحلال گاز در محلول آبی خواص فاز هیدروکربن را تحت تأثیر قرار می‌دهد و در رفتار فازی سامانه هیدروکربن و آب شور مؤثر است. حلایت گازهای اسیدی مانند دی اکسید کربن در فاز آبی تابع دما، فشار و میزان شوری آب است. هرچه فشار بیشتر گردد یا دما کمتر شود حلایت گاز در فاز آبی بیشتر می‌شود. مطالعات نشان می‌دهد که حلایت گاز در آب خالص به طور قابل ملاحظه‌ای میزان نفت تولیدی را کاهش می‌دهد، در صورتی که تنها حضور ۱۵٪ TDS^۴ به عنوان املاح در آب این تأثیر منفی را کاهش می‌دهد. با توجه به آن که هرچه TDS آب بیشتر باشد انحلال گاز در فاز آبی کمتر می‌شود پس می‌توان نتیجه‌گیری کرد که هرچه انحلال گاز در فاز آبی کمتر باشد بازده روش تزریق گاز برای ازدیاد بازیافت نفت بیشتر می‌گردد [۲].

از دیگر مواردی که در آن با حلایت گاز دی اکسید کربن در محلول‌های آبی سروکار داریم در تزریق این گاز به محلول‌های نمکین اعماق زمین می‌باشد. این کار که روشی برای مبارزه با افزایش گازهای گلخانه‌ای به‌ویژه دی اکسید کربن در طی ۱۵۰ سال گذشته می‌باشد، در واقع روشی شیمیایی برای محصور کردن دی اکسید کربن در اعماق زمین می‌باشد چرا که

1. Total Dissolved Solid

2. Carbon Sequestration with Enhanced Gas Recovery

پیچیدگی ویژه‌ای نسبت به محلول‌های غیر الکترولیت برخوردار هستند چراکه باید یون‌ها به عنوان ذراتی باردار و نیز نیروهای اندرکنش در این معادلات در نظر گرفته شوند [۴]. در محاسبات تعادلی بخار- مایع، برای بررسی میزان حلالیت گاز دی‌اکسید کربن در محلول‌های آبی الکترولیت، از روش $\varphi - \gamma$ که بر مبنای ضریب فعالیت^۱ (۶) و ضریب فوگاستیه (۷) می‌باشد و یا روش $\varphi - \varphi$ که تنها بر مبنای ضریب فوگاستیه (۸) می‌باشد، استفاده می‌شود [۱۱]. در روش اول برای توصیف حالات غیر ایده‌آل در فاز بخار از معادله‌ی حالت و در فاز مایع یکی از مدل‌های ضریب فعالیت استفاده می‌گردد و در روش دوم از معادله‌ی حالت مناسب برای توصیف حالات غیر ایده‌آل در هر دو فاز مایع و بخار استفاده می‌شود.

معادله حالت الکترولیتی چاه مربعی حق طلب- مظلومی

معادله حالت الکترولیتی چاه مربعی برای محلول‌های الکترولیت با استفاده از سیکل ترمودینامیکی [۱۲، ۱۳]، ارائه شده توسط Kim and Lee [۱۴]، Myer et al [۱۵]، Inczewski et al [۱۶] و Wu and Prausnitz [۱۷] بدست آمد. مخلوط گاز ایده‌آل شامل مولکول‌های حلال و یون‌های الکترولیت در دمای T و حجم V به عنوان سامانه مرجع فرض می‌شود. در اولین مرحله با استفاده از معادله‌ی Born یون‌ها فاقد بار می‌شوند. در مرحله‌ی دوم طی یک فرآیند تراکم هم‌دمای مخلوط گازی به محلول مایع در حجم V با استفاده از معادله حالت مکعبی چاه مربعی تبدیل می‌گردد. حال یونها در محلول مایع با استفاده از عبارت Born دوباره باردار می‌شوند. در مرحله‌ی آخر برای رسیدن به یک محلول الکترولیت واقعی نیروهای برد بلند^{۱۰} الکترواستاتیک میان یون‌ها را با استفاده از عبارت MSA^{۱۱} در نظر می‌گیریم، بنابراین انرژی آزاد هلمهولتز معادله حالت الکترولیتی چاه مربعی از سه عبارت مطابق معادله‌ی (۱) تشکیل شده است

مدلهای مهندسی که تاکنون برای توصیف خواص ترمودینامیکی محلول‌های الکترولیت ارائه شده‌اند، همگی بر مبنای دو روش انرژی آزاد گیبس^۱ و یا انرژی آزاد هلمهولتز باقیمانده^۲ می‌باشند [۴، ۱۲]. در روش اول با استفاده ازتابع انرژی آزاد گیبس ضرایب اکتیویته به دست می‌آیند، از این رو این روش به مدل ضرایب اکتیویته شهرت نیز دارد. در سال ۱۹۷۳ پیترز با گسترش تئوری دیبای هوكل^۳ موفق به ارائه مدلی جامع در تمام محدوده غلظت گردید.

مدل ضرایب اکتیویته ENRTL بر پایه‌ی اصلاح ترکیب موضعی NRTL ارائه گردید [۶، ۵]. در سال ۱۹۸۶ مدل UNIQUAC با اضافه کردن عبارت دیبای هوكل برای محلول‌های الکترولیت مورد استفاده قرار گرفت [۷]. از جمله مدل‌های ترکیب موضعی دیگر می‌توان به N-Wilson-NRF [۸]، UNIQUAC-NRF [۹] و NRTL-NRF [۱۰] اشاره نمود. باید توجه داشت با استفاده از مدل‌های ضرایب اکتیویته، دانسیته محلول به دست نمی‌آید و نیز وابستگی ضرایب اکتیویته به فشار به طور مستقیم از این روش قابل محاسبه نیستند. با وجود معایب ذکر شده این مدل‌ها به خوبی برای سامانه‌های ژئوشیمی^۴ و محلول‌های الکترولیت چند حلالی در صنایع شیمیایی قابل استفاده می‌باشند. در روش دوم با مشتق‌گیری ازتابع انرژی آزاد هلمهولتز باقیمانده نسبت به تعداد مول هر یک از اجزا می‌توان معادلات حالت را به دست آورد. معادلات حالت که اساس آن‌ها بر پایه‌ی برهمنکش مولکولی می‌باشد، بیشتر تجربی بوده ولی اساس تئوری دارند و همگی از دو عبارت جاذبه^۵ و دافعه^۶ تشکیل شده‌اند [۴].

معادلات حالت فاقد معایب ذکر شده در مدل‌های گروه اول می‌باشند و کلیه‌ی خواص ترمودینامیکی یک سامانه از مشتق‌گیری این تابع نسبت به پارامترهای مستقل نظیر دما، فشار و... به دست می‌آید. معادلات حالت الکترولیتی، که در توصیف خواص ترمودینامیکی محلول‌های الکترولیت نظیر ضرایب اکتیویته متوسط یونی^۷، ضرایب اسمزی^۸ و... به کار می‌روند، از

1. Excess Gibbs Free Energy Formalism

2. Residual Helmholtz Free Energy Formalism

3. Debye-Hückel

4. Geochemical Systems

5. Attractive Potential

6. Repulsive Potential

7. Mean Ionic Activity Coefficient

8. Osmotic Coefficient

9. Activity Coefficient

10. Long-Range

11. Mean Spherical Approximation

$$P = -\left(\frac{\partial a}{\partial v}\right)_{T,x_i} = P_{CSW} + P_{MSA} + P_{Born} \quad (5)$$

$$\begin{aligned} \mu_i^{res} &= \left(\frac{1}{RT} \frac{\partial (n_t a^{res})}{\partial n_i}\right)_{T,v,n_j \neq i} \\ &= \left(\frac{1}{RT} \frac{\partial (n_t a_{Born})}{\partial n_i}\right)_{T,v,n_j \neq i} + \left(\frac{1}{RT} \frac{\partial (n_t a_{MSA})}{\partial n_i}\right)_{T,v,n_j \neq i} + \end{aligned}$$

$$\left(\frac{1}{RT} \frac{\partial (n_t a_{CSW})}{\partial n_i}\right)_{T,v,n_j \neq i} \quad (6)$$

$$= \frac{\mu_{i,Born}}{RT} + \frac{\mu_{i,MSA}}{RT} + \frac{\mu_{i,CSW}}{RT}$$

$$\varphi_i = \frac{RT}{Pv} \exp\left(\frac{\mu_i^{res}}{RT}\right) \quad (7)$$

$$m = \sum_i \sum_j x_i x_j m_{ij} \quad (8)$$

$$w = \sum_i \sum_j x_i x_j w_{ij} = \sum_i \sum_j x_i x_j (\exp(\frac{\varepsilon_{ij}}{kT}) - m_{ij}) \quad (9)$$

$$v_0 = \sum_i x_i v_{0i} \quad (10)$$

$$z = \sum_i x_i z_i \quad (11)$$

$$m_{ij} = \frac{4\sqrt{2}\pi\lambda_{ij}^3 - 3}{4\sqrt{2}\pi(\lambda_{ij}^3 - 1)} \quad (12)$$

$$v_{0i} = \frac{N_A \sigma_i^3}{\sqrt{2}} \quad (13)$$

$$z_i = \frac{4\sqrt{2}\pi}{3} \lambda_{ij}^3 - 1 \quad (14)$$

قوانين تركيبی^۵ زیر نیز مورد استفاده قرار میگیرند:

$$\varepsilon_{ij} = \sqrt{\varepsilon_i \varepsilon_j} (1 - k_{ij}) \quad (15)$$

$$\lambda_{ij} = \frac{\sigma_i \lambda_i + \sigma_j \lambda_j}{\sigma_i + \sigma_j} \quad (16)$$

هدف اصلی از انجام این تحقیق به دست آوردن حلایت

دیاکسید کربن در محلوهای آبی الکترولیت با استفاده از معادله حالت الکترولیت چاه مربعی میباشد. تحقیق سامانه های سه جزئی الکترولیت نظیر $\text{CO}_2 + \text{H}_2\text{O} + \text{NaCl}$, $\text{CO}_2 + \text{H}_2\text{O} + \text{KCl}$ و سایر الکترولیت ها نظری سولفات سدیم، کلرید کلسیم، کلرید منیزیم و یا سولفات منیزیم مورد بررسی قرار گرفته اند. تعادلات

که در ادامه هر یک توضیح داده خواهد شد.

$$a = a_{CSW} + a_{MSA} + a_{Born} \quad (1)$$

عبارت غیرالکترولیتی معادله حالت a_{CSW} از عبارت دافعه‌ی حجم آزاد وان در والس و عبارت جاذبه بر مبنایتابع پتانسیل چاه مربعی تشکیل شده است که برای توصیف نیروهای برد کوتاه^۶ در محلول‌های الکترولیت به کار می‌رود. انرژی آزاد هلمهولتز این عبارت از رابطه‌ی ذیل به دست می‌آید [۱۲]:

$$a_{CSW} = RT \ln\left(\frac{v}{v - 4\tau v_0}\right) - \frac{zRT}{2} \ln\left(\frac{mv + v_0 w}{mv + v_0(1-m)}\right) \quad (2)$$

(9)

در آن عبارت اول موید نیروهای دافعه‌ی وان در والس و عبارت

دوم آن نیروهای جاذبه بر مبنایتابع پتانسیل چاه مربعی را نشان می‌دهد [۱۲]. دومین عبارت، عبارت a_{MSA} می‌باشد که برای

توصیف نیروهای برد بلند الکترواستاتیک در محلول‌های الکترولیت به کار می‌رود. در این معادله شکل صریح^۷ این نظریه به صورت ذیل نوشته می‌شود [۱۲]:

$$a_{MSA} = -\frac{2\Gamma^3 RT v}{3\pi N_A} \left(1 + \frac{3}{2} \sigma \Gamma\right) \quad (3)$$

عبارت a_{Born} به عنوان سومین جمله‌ی این معادله حالت الکترولیتی برایاردار و بی باردار کردن یون‌ها استفاده می‌شود که رابطه‌ی انرژی آزاد هلمهولتز آن از معادله‌ی ذیل به دست می‌آید [۱۲]:

$$a_{Born} = a_{Born}^{discharge} + a_{Born}^{charge} = -\frac{N_A e^2}{RT 4\pi \epsilon_0} \left(1 - \frac{1}{D}\right) \sum_{ions} \frac{x_i Z_i^2}{\sigma_i} \quad (4)$$

در نهایت تابع فشار و پتانسیل شیمیایی مکعبی چاه مربعی، ضریب فوگاسیته و قوانین اختلاط از روابط ذیل به دست می‌آیند [۱۲]:

1. Electrolyte Cubic Square-Well Equation of State
2. Short-Range
3. Mean Spherical Approximation

4. Explicit
5. Combining Rule

آمده است.

(۲) درصد متوسط خطای (AAD%) با استفاده از معادله حالت مکعبی چاه مربعی برای ۱۸۰ داده [۱۸] برابر با $\% \frac{12}{82}$ Zhenhao Duan and Sun می باشد. باید توجه کرد که در مدل از الگوریتم $\varphi - \gamma$ و در مدل مورد استفاده در این تحقیق از الگوریتم $\varphi - \varphi$ استفاده شده است و روش $\varphi - \gamma$ برای این سامانه ها نسبت به روش $\varphi - \varphi$ از دقت بالاتری برخوردار می باشد. در نمودار (۱) نمونه ای از نتایج به دست آمده به صورت فشار بر حسب کسر مولی دی اکسید کربن در فاز مایع در دو دمای K ۲۷۳/۱۵ و ۵۱۳/۱۵ در غلظت ثابت ۲ مولال نمک کلرید سدیم نشان داده شده است. همان طور که مشاهده می شود تطابق داده های تجربی و محاسباتی در فشارهای پایین تر از ۱۰۰ بار در هر دو دمای مذکور مناسب می باشند. در فشارهای بالا نیز با توجه به دمای بالای k ۵۱۳/۱۵ نتایج مناسبی به دست آمده است.

در بررسی سامانه $96\text{ CO}_2 + \text{H}_2\text{O} + \text{KCl}$ داده های تجربی از مرجع [۱۷] مورد استفاده قرار گرفته است. در این سامانه نیز درصد متوسط خطای (AAD%) برابر با $5/48$ ٪ در مقایسه با نمودارها و نتایج به دست آمده با مدل kiepe et al [۱۷] مناسب می باشد.

در نمودار (۲) فشار بر حسب کسر مولی دی اکسید کربن در فاز مایع در دمای ${}^{\circ}\text{C} 40$ در چهار مولالیت م مختلف از نمک کلرید پتاسیم ترسیم شده است. همان طور که مشاهده می شود تطابق داده های تجربی و محاسباتی در فشارهای پایین تر از 30 بار در هر چهار مولالیت نمک مناسب می باشد و این تطابق در فشارهای بالاتر با افزایش مولالیت های نمک بیشتر می شود.

محاسبه های حلالیت دی اکسید کربن با 113 داده های تجربی [۱۹] برای سامانه $\text{CO}_2 + \text{H}_2\text{O} + \text{Na}_2\text{SO}_4$ استفاده شده است. درصد خطای برای این سامانه با استفاده از معادله حالت مکعبی چاه مربعی برابر $4/92$ ٪ می باشد که در مقایسه با مدل Bermejo, Martin, Florusse, Peters and Cocero [۱۹] نتیجه های مناسب و قابل قبولی می باشد. در نمودار (۳) فشار بر حسب دما در

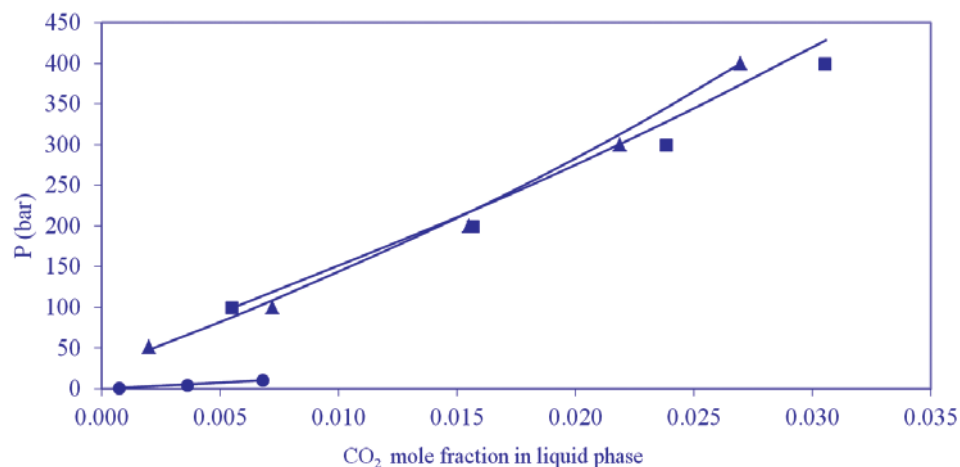
بخار- مایع در این گونه سامانه های حلالیت گاز دی اکسید کربن در محلول الکترولیت با استفاده از الگوریتم فشار حباب محاسبه می گردد. در فاز مایع چهار جزء آب، دی اکسید کربن، کاتیون و آئیون وجود دارند و از قوانین اختلاط برای سامانه های چهار جزئی استفاده می شود. پارامترهای کاتیون و آئیون یکسان در نظر گرفته می شود. سه عبارت معادله حالت الکترولیتی محاسبه شده و فوگاسیته اجزاء آب و دی اکسید کربن در دو فاز بخار و مایع به دست می آیند. فاز بخار تنها شامل دو جزء آب و دی اکسید کربن می باشد، بنابراین به دلیل عدم وجود یونها تنها عبارت معادله حالت مکعبی (CSW) وجود دارد و قادر دو عبارت Born و MSA می باشد.

با به دست آوردن ضریب فوگاسیته اجزا در دو فاز و با بهینه کردن تابع هدف ذیل حلالیت دی اکسید کربن در محلولهای آبی الکترولیت محاسبه می گردد:

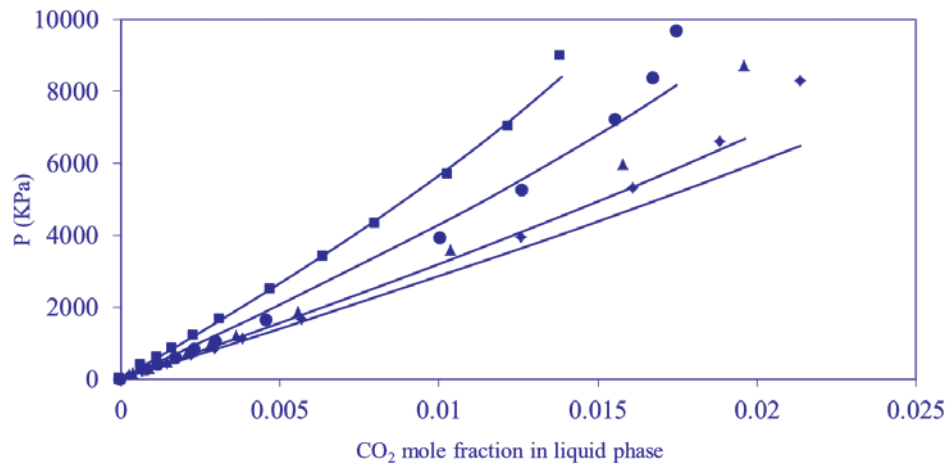
$$AAD\% = \frac{100}{n_p} \sum \left| \frac{P^{exp} - P^{cal}}{P^{exp}} \right| \quad (8)$$

نتایج و بحث

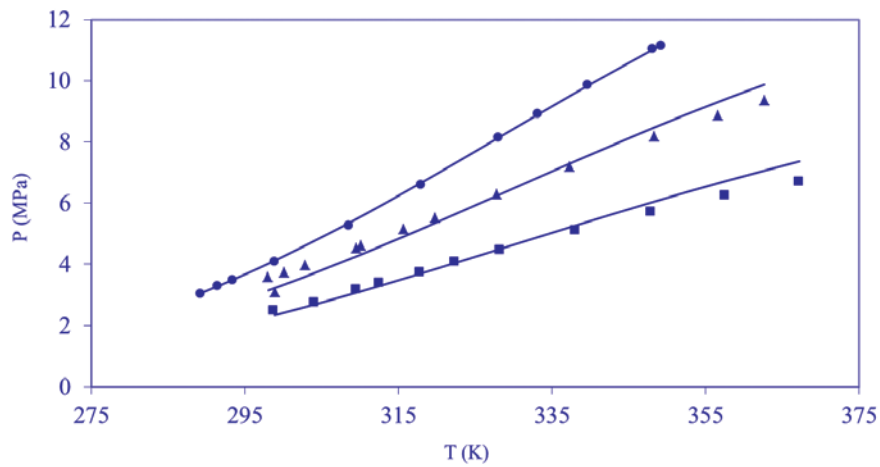
محاسبه های حلالیت دی اکسید کربن با 249 داده های تجربی [۱۸، ۱۷] برای سامانه $\text{CO}_2 + \text{H}_2\text{O} + \text{NaCl}$ استفاده شده است که به دو مجموعه تقسیم گردیدند. در مجموعه ای اول 69 داده [۱۷] برای این سامانه به دست آمد. درصد خطای برای این سامانه با 69 داده های تجربی با استفاده از معادله حالت مکعبی چاه مربعی برابر $1/1$ ٪ می باشد که در مقایسه های با نمودارها و نتایج به دست آمده در مدل Kiepe et.al نتایج مناسب و قابل قبولی می باشد. در مجموعه های دوم محاسبه های حلالیت دی اکسید کربن در سامانه $\text{CO}_2 + \text{H}_2\text{O} + \text{NaCl}$ با 180 داده های تجربی [۱۸] به دست آمد. همچنین از بررسی نتایج در مقایسه با مدل Zhenhao Duan and Sun دو مورد ذیل را می توان نتیجه گرفت: (۱) با معادله حالت مکعبی چاه مربعی تنها می توان تا فشار 400 بار داده های تجربی را مدل سازی کرد در فشارهای خیلی بالا که نیروهای دافعه میان ذرات دارای اهمیت می شوند معادله حالت مکعبی چاه مربعی ممکن است نامناسب باشد چرا که عبارت دافعه ای این معادله از حجم آزاد و ان دروالس به دست



نمودار ۱: مقایسه نتایج مدل با داده های تجربی حلایت گاز در سامانه آب + نمک کلرید سدیم + گاز دی اکسید کربن در غلظت ۲ مولال نمک
(● 273.15 K, ▲ 513.15 K, ■ 543.15 K, — this model) در دماهای متفاوت NaCl



نمودار ۲: مقایسه نتایج محاسبات مدل با داده های تجربی حلایت گاز در سامانه آب + نمک کلرید پتاسیم + گاز دی اکسید کربن در دمای ۴۰°C در غلظت های متفاوت نمک (♦ 0.5 m, ▲ 1 m, ● 2.5 m, ■ 3.96 m, — this model)



نمودار ۳: مقایسه نتایج مدل با داده های تجربی حلایت گاز دی اکسید کربن بر حسب دما در سامانه آب + نمک سولفات سدیم + گاز دی اکسید کربن شامل ۵/۰ مول نمک (■ X_{CO₂} = 0.0075, ▲ X_{CO₂} = 0.01, ● X_{CO₂} = 0.0125, — this model)

نتیجه‌گیری

در این تحقیق مدل معادله حالت مکعبی چاه مربعی برای حلایت گاز دی‌اکسیدکربن در محلول الکتروولیت مورد استفاده قرار گرفت و از الگوریتم محاسبات تعادلی برای بررسی حلایت گاز دی‌اکسیدکربن در محلول‌های آبی الکتروولیت با استفاده از برنامه متلب^۱ استفاده شد. داده‌های حلایت دی‌اکسیدکربن برای سامانه‌های کلریدسدیم، کلریدپتاسیم، سولفات‌سدیم، کلریدمنیزیم، کلریدکلسیم و سولفات‌منیزیم به دست آمده و در صورت نیاز تبدیل گردیدند. محاسبات برای حلایت گاز دی‌اکسیدکربن در محلول‌های الکتروولیت با در نظر گرفتن پارامترهای برهمنکنش دوتایی مولکول-یون انجام گردید و نتایج حاصل نشان از توانایی مدل مورد استفاده بررسی سامانه‌های سه‌جزیی آب+دی‌اکسیدکربن+الکتروولیت دارد.

چهار کسر مولی ثابت دی‌اکسیدکربن در فاز مایع در مولالیته ثابت ۰/۵ مولال نمک سولفات‌سدیم ترسیم شده است. در نمودار دیده می‌شود که با افزایش کسر مولی دی‌اکسیدکربن در فاز مایع تطابق داده‌های تجربی و نتایج محاسباتی بیشتر می‌گردد و همچنان در هر منحنی با افزایش دما و فشار تطبیق داده‌های تجربی و نتایج محاسباتی کاهش می‌یابد.

به طور کلی مقدار خطای AAD٪ برای هر سامانه، سامانه‌های بررسی شده و تعداد داده‌های هر یک از آن‌ها و پارامترهای برآش شده در جدول (۳) نشان داده شده است. همان‌طور که مشاهده می‌شود برای ۵۱۱ داده‌ی تجربی خطای متوسط کلی برابر با ۹/۷۵٪ با استفاده از معادله حالت الکتروولیتی چاه مربعی به دست آمده است.

جدول ۳: نتایج مدل با استفاده از داده‌های آزمایشگاهی برای سامانه‌های الکتروولیتی مختلف

No.	System	$K_{H_2O\text{-ion}}^+$		$K_{CO_2\text{-ion}}^+$		$K_{H_2O\text{-ion}}^-$		$K_{CO_2\text{-ion}}^-$		np	%AAD
		a	b	a	b	a	b	a	b		
1	$CO_2+H_2O+NaCl$	-2	680.9	-2.9	1034.3	0	0	0	0	249	13.92
2	CO_2+H_2O+KCl	-3.4	1906.6	-3.4	1906.6	-3.3	1289.6	2.01	-7.1	96	5.48
3	$CO_2+H_2O+Na_2SO_4$	-2.8	704.7	-3.7	1053	0	0	0	0	113	4.91
4	$CO_2+H_2O+MgCl_2$	-0.3	38	50	107.2	188.7	162.3	188.7	162.3	29	13
5	$CO_2+H_2O+CaCl_2$	282.3	-761.6	282.4	-761.6	4.3	-1334.5	2178	-586.4	16	9.06
6	$CO_2+H_2O+MgSO_4$	-0.4	7.7	11.192	-5.2	12.3	-5.2	12.2	-5.2	8	11.07
Overall										511	9.57

1. Matlab

منابع

- Paitakhti-Oskouie, Tabatabaei-Nezhad, Mechanisms of Oil Recovery by Non-Hydrocarbon Gas Injection, 13th Oil, Gas & Petrochemical Congress with particular emphasize on Improved Oil Recovery, Tehran, Iran, 2005.
- Rahim Masoudi, Bahman Tohidi and Ali Danesh, Modelling Gas Solubility in Saline Solutions and its Importance to IOR Gas Injection, Mechanisms of Oil Recovery by Non-Hydrocarbon Gas Injection, 13th Oil, Gas & Petrochemical Congress with particular emphasize on Improved Oil Recovery, Tehran, Iran, 2005.
- Zhiping Liu, Wenchuan Wang, Yigui Li, An Equation of State for Electrolyte Solutions by Combination of Low-Density Expansion of Non-Primitive Mean Spherical Approximation and Statistical Associating Fluid Theory, Fluid Phase Equilibria, 2005, 227, pp. 147-156.
- Yi Lin and Kaj Thomsen, Jean-Charles de Hemptinne, Multicomponent Equations of State for Electrolytes, AIChE, 2007, Vol.53, No.4.
- Chen CC, Britt HI, Boston JF, Evans LB, Local Composition Model for Excess Gibbs Energy of Electrolyte Systems, AIChE, 1982, 28, pp. 588-596.
- Chen CC, Evans LB, A Local Composition Model for Excess Gibbs Energy of Aqueous Electrolyte Systems, AIChE, 1986, 32, pp. 444-454.
- Sander B, Fredenslund A, Rasmussen P, Calculation of Vapor-Liquid Equilibria in Mixed Solvent/Salt Systems Using an Extended UNIQUAC Equation, Chem Eng Sci, 1986, 41, pp. 1171-1183.
- R. Sadeghi, New Local Composition Model for Polymer Solutions, Fluid Phase Equilibria, 2005, 231, pp. 53-60.
- Ali Haghtalab, Mohammad Ali Asadollahi, An Excess Gibbs Energy Model to Study the Phase Behavior of Aqueous Two-Phase Systems of Polyethylene Glycol/dextran, Fluid Phase Equilibria, 2000, 171, pp. 77-90.
- Ali Haghtalab, J.H. Vera, A Nonrandom Factor Model for the Excess Gibbs Energy of Electrolyte Solutions, AIChE, 1988, 34, pp. 803-813.
- Incheckel Radia, de Hemptinne Jean-Chares, Furst Walter, The Simultaneous Representation of Dielectric Constant, Volume and Activity Coefficients Using an Electrolyte Equation of State, Fluid Phase Equilibria, 2008, 271, pp. 19-27.
- Ali Haghtalab, Seyed Hossein Mazloumi, A Square-Well Equation of State for Aqueous Strong Electrolyte Solutions, Fluid Phase Equilibria, 2009, 285, pp. 96-104.
- Ali Haghtalab, Seyed Hossein Mazloumi, Electrolyte Cubic Square-Well Equation of State for Computation of the Solubility CO₂ and H₂S in Aqueous MDEA Solutions, Ind. Eng. Chem. Res. 49, 2010, pp. 6221-6230.
- Y.S.Kim, C.S.Lee, An Electrolyte Equation of State Based on Hydrogen-Bonding Non-Random Lattice Fluid Model for Concentrated Electrolyte Solutions, Ind. Eng. Chem. Res. 47, 2008, pp. 5102-5111.
- Jason A.Myers and Stanley I.Sandler, An Equation of State for Electrolyte Solutions Covering Wide Ranges of Temperature, Pressure and Composition, Ind. Eng. Chem. Res. 41, 2002, pp. 3282-3297.
- Jianzhong Wu and John M.Prausnitz, Phase Equilibria for Systems Containing Hydrocarbons, Water and Salt: An Extended Peng-Robinson Equation of State, Ind. Eng. Chem. Res. 37, 1998, pp. 1634-1643.
- Jorn Kiepe, Sven Horstmann, Kai Fischer and Jurgen Gmehling, Experimental Determination and Prediction of Gas Solubility Data for CO₂+H₂O Mixtures Containing NaCl or KCl at Temperatures Between 313 and 393 K and Pressures up to 10 Mpa, Ind. Eng. Res. 41, 2002, pp. 4393-4398.

18. Zhenhao Duan, Rui Sun, An Improved Model Calculating CO₂ Solubility in Pure Water and Aqueous NaCl Solutions from 273 to 533 K from 0 to 2000 bar, *Chemical Geology*, 2003, 193, pp. 257– 271.
19. M.D. Bermejo, A. Martin, L.J. Florusse, C.J. Peters, M.J. Cocero, The Influence of Na₂SO₄ on the CO₂ Solubility in Water at High Pressure, *Fluid Phase Equilibria*, 2005, 238, pp. 220–228.
20. C. M. Oldenburg, K. Pruess, and S. M. Benson, Process Modeling of CO₂ Injection into Natural Gas Reservoirs for Carbon Sequestration and Enhanced Gas Recovery, *Energy & Fuels*, 2001, 15, pp. 293-298.
21. B.P.McGrail, P.F.Martin, K.P.Saripalli, B.M.Sass, S.L.Brayant, Use of Forced Mineral Trapping for Sequestration of CO₂, The National Energy Technology Laboratory (NETL), part of DOE's national laboratory system, owned and operated by the U.S. Department of Energy (DOE).
22. Akira Yasunishi and Fumitake Yoshida, Solubility of Carbon Dioxide in Aqueous, Electrolyte Solutions, *J. Chem. Eng.*, 2002.

(www.pogc.ir/Portals/0/maghalat/890423-4.pdf) ۲۳. تزریق گاز به مخازن نفتی، شرکت نفت و گاز پارس،